

dipendenza dal tempo del processo base della popolazione.

3. Catena binomiale di Markov in tempo discreto. -

Abbiamo visto che la (2) dà luogo ad un sistema omogeneo dal momento che p_{ij} è la stessa qualunque sia l'età x . Applichiamo allora il metodo descritto dianzi ad un sistema omogeneo. Vedremo dopo cosa accade se il sistema non è omogeneo.

Sappiamo che le distribuzioni di probabilità per il numero dei superstiti ed il tempo di estinzione di un gruppo in tempo discreto, basato sulla probabilità di sopravvivenza empirica $\hat{p}'_x(t)$, si possono ricavare semplicemente mediante sviluppo in serie binomiale [3] [4].

Supponiamo che in un gruppo di dimensioni iniziali l'_0 , la probabilità di sopravvivenza di un individuo (appartenente al gruppo) dall'età x all'età $x+1$ sia p , indipendente dall'età o dal tempo.

Iniziando con l'_x individui vivi all'età x , la probabilità del numero l'_{x+1} di superstiti dopo l'intervallo $(x, x+1)$ è dato allora da:

$$(4) \quad P_r \left\{ \frac{l'_{x+1}}{l'_x} \right\} = \binom{l'_x}{l'_{x+1}} p^{l'_{x+1}} (1-p)^{l'_x - l'_{x+1}}$$

Orbene, la (4) esprime le probabilità di transizione che governano una catena di Markov del tipo $\{l'_x\}_{x=0}^{\omega}$; gli stati di questa catena sono i numeri di sopravvivenuti $0, 1, 2, \dots, l'_0$.

E' chiaro che la distribuzione globale dei superstiti $l'_1, \dots, l'_k (k < \omega)$ è data da:

$$(5) \quad P_r \left\{ \frac{l'_1, \dots, l'_k}{l'_0} \right\} = \prod_{x=0}^{k-1} \binom{l'_x}{l'_{x+1}} p^{l'_{x+1}} (1-p)^{l'_x - l'_{x+1}}$$

La distribuzione di l'_k , sarà allora espressa da:

$$(6) \quad P_r \left\{ \frac{l'_k}{l'_0} \right\} = \binom{l'_0}{l'_k} (p^k)^{l'_k} (1-p^k)^{l'_0 - l'_k}$$

dove non si tiene conto di l'_1, \dots, l'_{k-1} dato che la probabilità di sopravvivenza al tempo k sarà p^k .

Risulta che il tempo T , di estinzione del gruppo ci è fornito dalla relazione

$$(7) \quad P_r \{T = \tau\} = P_r \{l'_x = 0\} - P_r \{l'_{x-1} = 0\} = \\ = (1-p^\tau)^{l'_0} - (1-p^{\tau-1})^{l'_0}.$$

Questa è una catena di Markov con matrice di transizione $\{l'_x\}$.

Si possono confrontare questi risultati con quelli ottenuti da Chiang [17], capitolo 10.

Se adesso facciamo l'ipotesi della non omogeneità della catena di Markov $\{l'_x\}_{x=0}^\omega$ ed in cui le probabilità di sopravvivenza $\hat{p}'_x(t)$ dipendono con-

temporaneamente dall'età e dal tempo, otteniamo analoghi risultati.

Infatti la (4) in questo caso rimane identica nella forma, salvo che dobbiamo sostituire a p la $\hat{p}'_x(t)$. Con tale sostituzione la distribuzione dei sopravvissuti l'_1, \dots, l'_k ($k \leq \omega$) è data da:

$$(8) \quad P_r \left\{ \frac{l'_1, \dots, l'_k}{l'_0} \right\} = \prod_{x=0}^{k-1} \binom{l'_x}{l'_{x+1}} \hat{p}'_x(t)^{l'_{x+1}} \hat{q}'_x(t)^{l'_x - l'_{x+1}}$$

Se $k = \omega$, possiamo scrivere $d'_0 = l'_0 - l'_1, \dots, d'_\omega = l'_\omega - l'_{\omega+1} = l'_\omega$

per i decessi consecutivi rispettivamente agli intervalli di età.

La (8), in tal caso, ci porta a scrivere

$$(9) P_r \left\{ \frac{d'_0, \dots, d'_\omega}{d'_0! \dots d'_\omega!} \right\} = \frac{l'_0}{d'_0! \dots d'_\omega!} \hat{q}'_0(t) \{ \hat{p}'_0(t) \hat{q}'_1(t+1) \}^{d'_1} \dots \dots \dots ,$$

$$\{ \hat{p}'_0(t) \hat{p}'_1(t+1) \dots \hat{p}'_{\omega-1}(t+\omega-1) \hat{q}'_\omega(t+\omega) \}^{d'_\omega}$$

dove $\hat{q}'_\omega(t+\omega) = 1$, e le probabilità di morte, con $1 \leq k \leq \omega$ date dalla:

$\hat{p}'_0(t) \dots \hat{p}'_{k-1}(t+k-1) \hat{q}'_k(t+k)$, soddisfano l'equazione

$$\hat{q}'_0(t) + \hat{p}'_0(t) \hat{q}'_1(t+1) + \dots + \hat{p}'_0(t) \hat{p}'_1(t+1) \dots \hat{p}'_{\omega-1}(t+\omega-1) = 1$$

L'equazione (9) che abbiamo ricavato, migliora l'approssimazione fornita da Chiang [17, pag. 225], e ciò proprio perché abbiamo tenuto presenti contemporaneamente l'età ed il tempo.

Con tali risultati ci troviamo di fronte ad una distribuzione di sopravvivenzi $l'_k (1 \leq k \leq \omega)$ del tipo:

$$(10) P_r \left\{ \frac{l'_k}{l'_0} \right\} = \binom{l'_0}{l'_k} \{ \hat{p}'_0(t) \dots \hat{p}'_{k-1}(t+k-1) \}^{l'_k} \cdot$$

$$\{ 1 - \hat{p}'_0(t) \dots \hat{p}'_{k-1}(t+k-1) \}^{l'_0 - l'_k}$$

dalla quale possiamo ricavare la probabilità del tempo di estinzione del gruppo, ossia, in modo analogo alla (7)

$$(11) P_r \{ T = \tau \} = P_r \left\{ l'_\tau = 0 \right\} = P_r \left\{ l'_{\tau-1} = 0 \right\} =$$

$$= \left\{ 1 - \prod_{k=0}^{\tau-1} \hat{p}'_k(t+k) \right\}^{l'_0} = \left\{ 1 - \prod_{k=0}^{\tau-1} \hat{p}'_k(t+k) \right\}^{l'_0}$$

E' bene notare che la (11) risulta comodissima nelle questioni di matematica attuariale, soprattutto quando interessa la valutazione della

probabilità del tempo di estinzione di uno o più gruppi.

4. - Distribuzioni per età e curve di mortalità. -

Le curve delle probabilità di sopravvivenza o di mortalità, come quelle in fig. 8

Figura 8

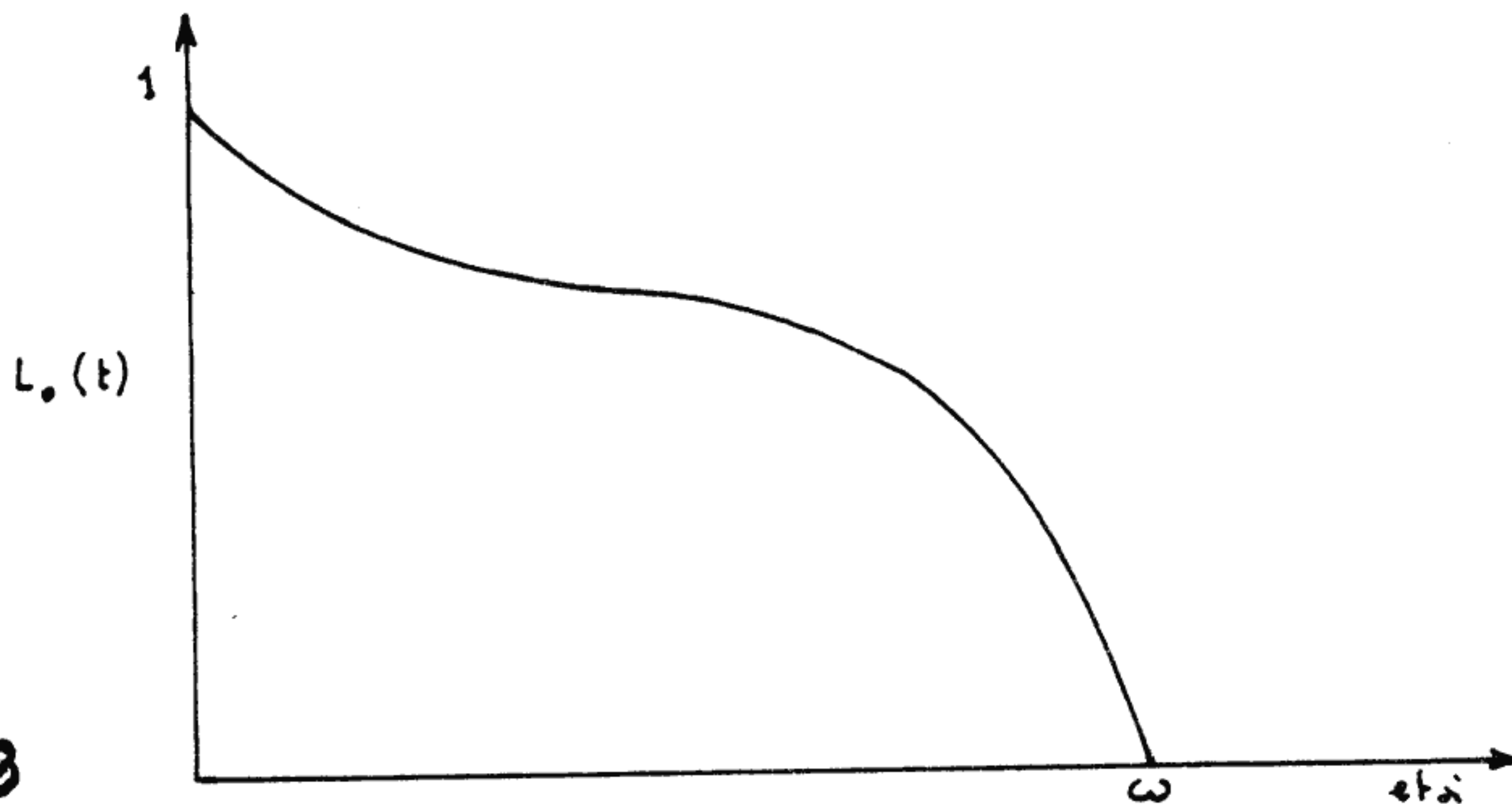


Fig. 8

sono state a lungo usate nella letteratura attuariale per specificare le possibilità di sopravvivenza di un individuo all'età t ; esse sono infatti, le equivalenti teoriche in tempo continuo alla base di quelle in tempo discreto delle tavole di vita viste in precedenza.

Possiamo osservare che se $\bar{L}_0(t)$ è la funzione di distribuzione per $T > 0$, alla morte di un individuo nato al tempo zero, allora la curva di mortalità è data da $L_0(t) = 1 - \bar{L}_0(t)$.

Per illustrare le relazioni fra i dati di vita per gruppi mostrati nella tavola 1 e la sommaria valutazione $\bar{L}_\tau(t)$ delle loro associate curve di